

ZnO Buffer Layer에 의한 ZnO 박막의 결정학적 특성에 관한 연구

금민종†*, 손인환**, 이정석***, 신성권****, 김경환*

*경원대학교 전기전자공학과, **신성대학 전기과, ***인하전문대 메카트로닉스과, ****동해대학
(2003년 3월 7일 접수)

A Study of the Crystallographic Characteristic of ZnO Thin Film Grown on ZnO Buffer Layer

Min-Jong Keum†*, In-Hwan Son**, Jung-Suk Lee***, Sung-Kwun Shin****, and Kyung-Hwan Kim*

*Kyungwon univ., **Shinsung college, **Inha Tech. college, ***Donghae univ.

(Received March 7, 2003)

요 약

본 연구에서는 박막 증착시 발생되는 γ -전자와 같은 고에너지 입자들의 막 충돌에 의한 손상이 적은 대향타겟식 스퍼터링 장치를 이용하여 SiO_2/Si 기판상에 ZnO 박막을 제작하였으며, 막의 결정성에 악 영향을 미치는 초기 성장층을 제거 할 수 있는 ZnO buffer-layer를 도입하여 박막의 결정학적 특성을 알아보았다. 제작된 박막의 결정성 및 c-축 우선배향성은 XRD를 사용하여 측정하였다. 측정 결과 ZnO buffer layer의 두께 10, 20 nm와 가스압력 1 mTorr일 때 ZnO 박막의 결정성이 가장 우수함을 알 수 있었다.

주제어 : 대향타겟스퍼터링장치, c-축 우선배향성

Abstract

In this study, we prepared ZnO thin film on SiO_2/Si substrate by FTS (Facing Targets Sputtering) apparatus which can reduce damage on the thin film because the bombardment of high-energy particles such as γ -electron can be restrained. And, properties of thin film grown with ZnO buffer-layer which can be suppress initial growth layer was investigated. The crystalline and the c-axis preferred orientation of ZnO thin film was also investigated by XRD. As a result, we noticed that the ZnO thin film has a good crystallographic characteristic at thickness of ZnO buffer layer 10, 20 nm and working pressure 1 mTorr.

Key Words : FTS, c-axis preferred orientation, ZnO buffer-layer

1. 서 론

ZnO 박막은 대칭 육방정계 (hexagonal) 구조로 결정구조에서의 이방성, 비화학 양론적 결합구조, 높은 굴절율과 압전 결합계수, 탄성파적 성질 때문에

탄성 표면파 소자를 비롯하여 FBAR (Film Bulk Acoustic Resonator) 소자 및 각종 초음파 트랜듀서, 투명 전도체, 가스 센서용 재료 등 다양한 분야에 적용되고 있다. 또한 SAW Filter, 초음파 현미경용 트랜듀서 및 전자 시계용 진동자는 이미 실용화가 이루어져

† E-mail : mjkeum@hanmir.com

있다 [1-3].

특히, 이러한 ZnO 박막은 기판에 수직인 결정학적 c-축으로 우선 방위 현상 (Preferred Orientation)을 나타내며 압전 특성을 이용하여 SAW Filter나 FBAR 소자로 응용을 할 경우 높은 기계결합 계수와 비저항이 요구되어 진다. 이는 ZnO 박막의 c-축 우선 배향성이 우수해야 한다는 것을 의미하지만, ZnO 박막의 c-축 배향성은 박막의 제작방법 및 제작 조건에 의해 큰 차이가 있다. 특히 스퍼터링법으로 ZnO 박막을 제작할 경우, 중착 변수인 중착 속도, 가스 압력, 투입 전력 등의 스퍼터링 조건이 박막의 c-축 배향성에 영향을 미친다고 보고되고 있다 [4,5]. 따라서 본 연구에서는 대향타겟식 스퍼터링 (FTS : Facing Targets Sputtering) 장치를 이용하여 ZnO 박막을 제작하였으며, 박막의 c-축 배향성 개선을 위해 buffer-layer에 따른 결정배향성 변화에 대한 실험을 하였다.

2. 실험 방법

본 연구에서는 그림 1에 나타난 FTS [6] 장치를 사용하여 ZnO 박막을 제작하였다.

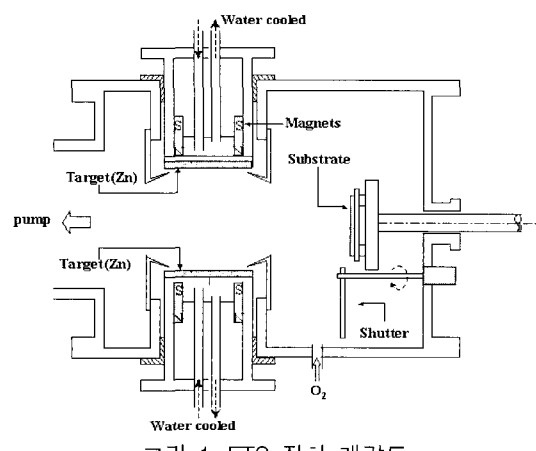


그림 1. FTS 장치 개략도.

그림 1에 나타난 바와 같이 FTS 장치는 타겟 뒷면에 영구자석이 장착되어 있어 타겟 표면에 수직한 방향으로 자계가 분포하게 된다. 따라서 타겟 사이에 형성되는 플라즈마의 γ -전자를 구속하게 되며, 구속된 γ -전자는 반사적극 역할을 하는 맞은 편 타겟으로 인해 두 타겟 사이를 왕복 운동하게 된다.

표 1. 스퍼터링 조건.

	ZnO	ZnO/ZnO buffer-layer	
		Buffer-layer	ZnO
Targets	Zn(4N)		
substrate	SiO ₂ /Si		
Base pressure	1.8×10^{-6} (Torr)		
Working gas	Oxygen		
Confining flux	200 (G)		
Working gas pressure(P_{O_2}) [mTorr]	2	0.5	0.5-2
Temperature	R.T.		
Sputtering current[A]	0.8	0.4	0.8
Thickness[nm]	1000	0-40	10
	1000		

때문에 γ -전자의 이동거리가 기존의 스퍼터링법보다 길어 분위기 가스의 이온화율이 높아 높은 막 중착 속도와 낮은 가스압력 0.5 (mTorr)에서도 안정적인 방전을 유지하며 박막을 제작할 수가 있다. 또한 기판의 위치가 플라즈마와 이격되어 있는 상태이기 때문에 박막이 중착 될 때 발생되는 높은 에너지를 갖는 입자들의 기판 충돌을 억제할 수 있다는 특징을 갖고 있다. 표 1은 ZnO 박막의 중착 조건을 나타낸 것이다. 스퍼터링법을 이용한 박막 중착시, 막의 초기 성장시 발생되는 초기 성장층은 random한 배향성을 나타내기 때문에 이러한 초기 성장층을 억제할 필요가 있다. 따라서 본 연구에서는 박막 성장시 발생되는 초기 성장층을 감소시키기 위해 동일 구조의 ZnO buffer-layer를 도입하였다.

또한 본 연구에서 사용된 기판은 slide glass로써 다음의 세척 과정을 통한 후 ZnO 박막을 제작하였다. 종류수로 5분간 2회, IPA로 10분간 2회 초음파 세척한 후 질소 가스로 송풍 건조시켰다. 제작된 박막의 두께는 Tencor사의 α -step을 이용하여 측정하였으며, 박막의 c-축 우선 배향성은 XRD를 사용하여 rocking-curve를 측정 반치폭 $\Delta\theta_{50}$ 을 조사하였다. 이때 X-Ray는 Cu- $K\alpha$ line ($\lambda=1.5405 \text{ \AA}$)/40 KV/20 mA를 사용하였으며 스텝폭과 주사 속도는 각각 0.05, 2(deg/min)로 측정하였다. 또한 박막의 c-축 우선 배향성 정도 ($\Delta\theta_{50}$)는 X-Ray의 입사 각도와 goniometer

의 각도를 (0002)면의 회절각으로 고정시킨 후 0~35° 범위에서 시편을 측정하여 구하였다. 이 $\Delta\theta_{50}$ 의 값이 작을수록 기판면에 특정 결정축의 수직한 정도가 우수함을 나타낸다.

3. 결과 및 고찰

그림 2는 상부 ZnO 압전 박막을 R.T., sputtering current 0.8A, 가스압력 2mTorr, 두께 1000nm의 증착 조건을 고정한 후 ZnO buffer-layer의 두께에 따른 ZnO/ZnO/SiO₂/Si 박막의 2θ 회절 패턴을 나타낸 것이다. 그림 2에 나타난 바와 같이 ZnO buffer-layer의 두께가 10nm에서 XRD 패턴이 가장 큰 peak를 나타내었다.

그림 3은 ZnO buffer-layer의 두께에 따른 ZnO/ZnO/SiO₂/Si 박막의 $\Delta\theta_{50}$ 및 결정입경을 나타낸 것이다. 그림 3에 나타난 바와 같이 ZnO buffer-layer의 두께가 10, 20(nm)일 때 박막의 c-축 우선 배향성이 개선되었음을 알 수 있다. 그러나 이 값은 압전 재료로 사용할 수 있을 정도의 양호한 값은 아니며 ZnO buffer-layer 도입에 따라 ZnO 박막의 성장이 영향을 받는다는 것을 생각 할 수 있다. 따라서 다음의 실험은 ZnO 박막의 제작은 동일 조건으로 한 뒤 ZnO buffer-layer의 가스압력을 변화시켜 제작하였다. ZnO buffer-layer의 두께는 10 nm로 고정하고 가스압력을 0.5, 1, 1.5, 2 mTorr로 변화시켜 제작하였을 때 ZnO 박막의 XRD 회절 패턴을 그림 4에 나타내었다.

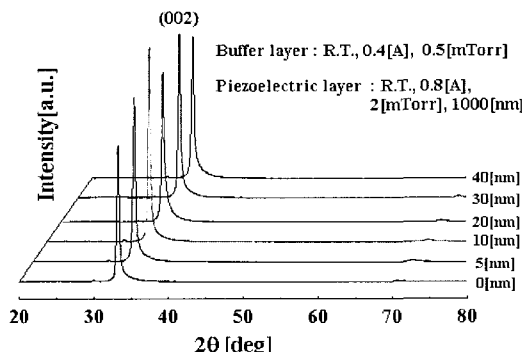


그림 2. ZnO buffer-layer 두께에 따른 ZnO 박막의 XRD 회절 패턴.

그림 4의 **는 ZnO buffer-layer가 없는 ZnO/SiO₂/Si 박막의 XRD 회절 패턴을 나타낸 것이다. 그림에 나타난 바와 같이 ZnO buffer-layer를 도입하지 않은

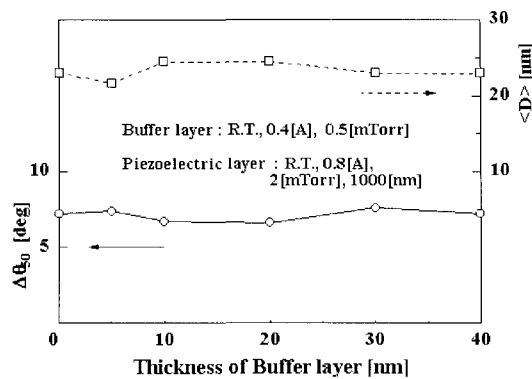


그림 3. ZnO buffer-layer 두께에 따른 ZnO 박막의 c-축 우선 배향성 및 결정입경.

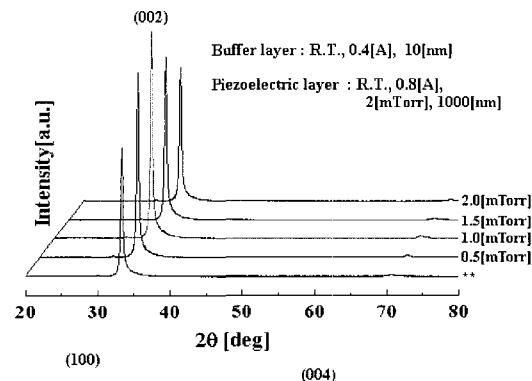


그림 4. ZnO buffer-layer의 가스압력에 따른 ZnO 박막의 XRD 회절 패턴.

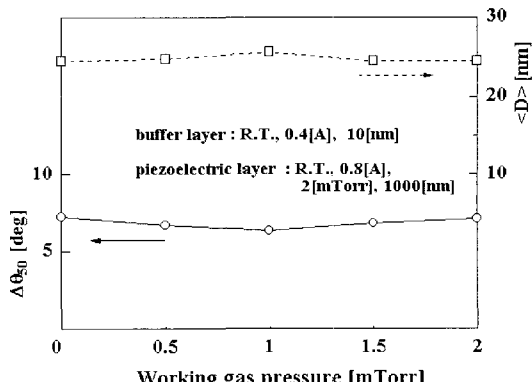


그림 5. ZnO buffer-layer 가스압력에 따른 ZnO 박막의 c-축 우선 배향성 및 결정입경

경우보다 ZnO buffer-layer를 도입한 경우의 XRD 패턴이 가장 높은 peak를 나타내었다.

그림 5는 가스압력 변화에 따른 ZnO 박막의 $\Delta\theta_{50}$ 및 결정 입경을 나타낸 것이다. 그림 5에 나타난 바와 같이 ZnO buffer-layer의 가스압력이 1(mTorr)일 때 ZnO 박막의 c-축 배향성이 가장 낮은 값을 나타내었다.

4. 결 론

본 연구에서 ZnO buffer-layer를 도입한 ZnO 박막을 실온에서 제작하여 다음과 같은 결론을 얻을 수 있었다.

ZnO buffer-layer를 도입하여 실온에서 제작된 ZnO 박막의 $\Delta\theta_{50}$ 은 ZnO buffer-layer의 막 두께 10 nm 와 20 nm에서 가장 낮은 값을 나타내었다. 또한 buffer-layer의 두께를 10 nm로 고정시킨 후 가스압력을 0.5, 1, 1.5, 2(mTorr)로 변화시켜 실험한 결과

1 mTorr일 때 ZnO 박막의 $\Delta\theta_{50}$ 의 값이 가장 낮게 나타났다. 이는 ZnO buffer-layer의 제작 조건에 따라 ZnO 박막의 결정성 및 c-축 우선 배향성이 영향을 받는 것으로 사료된다.

참 고 문 헌

- [1] Y. Igasaki and H. Saito, J. Appl. Phys. **70**, 3613, 1991.
- [2] F. S. Hickernell, J. Appl. Phys. **44**, 1061, 1973.
- [3] W. H. G. Horsthuis, Thin Solid Films **137**, 185, 1986.
- [4] T. Minami, J. Appl. Phys. Jpn. **23**, 1984.
- [5] K. Tominaga and I. Mori, Thin Solid Films **253**, 1994.
- [6] K. H. Kim, S. H. Kong, M. J. Keum, I. H. Son, M. Naoe, and S. Nakagawa, Appl. Surf. Sci. **169**, 170, (2001), 409.